

九州大学工学部

正員 植 東一郎

九州大学工学部

正員 渡村 実

九州大学工学部

正員 ○古本 勝弘

九州地区には干満の差が大きく、ほく典型的な混合型河川である筑後川を初め、島、椎貝氏が詳しく述べてゐる様に、上潮から高潮にかけては、強混合型に近く、下潮時には塩水楔的である大野川に至り、緩混合型に属する河川が多い。

本報告では、筑後川、川内川及び大野川の資料を用い、一次元拡散問題と見做した場合の拡散係数について若干の考察を行つたものである。縦方向に平均した濃度、流速を、夫々 \bar{S} 、 \bar{U} 、 y 方向に濃度分布、速度分布をもつた時の偏差を、夫々 S_1 、 U_1 ($S_1 = 0$ 、 $U_1 = 0$) とすると、一次元の拡散方程式は

$$\frac{\partial \bar{S}}{\partial t} + \bar{U} \frac{\partial \bar{S}}{\partial x} = \frac{1}{A} \frac{\partial^2}{\partial x^2} (AD \frac{\partial \bar{S}}{\partial x} - A \bar{S}_1 \bar{U}_1) \quad \dots (1)$$

となる。上式の左辺に於て、 \bar{S} は舌しれによる拡散係数、 $\bar{S}_1 \bar{U}_1$ は濃度と流速との鉛直分布による相関で、Taylor 等によると後者が圧倒的に大きく、前報の図-6 に示した大野川の場合の様に鉛直方向の流速、塩分濃度勾配が著しい場合には非常に大きな値を取ることが予想される。

緩混合型河川の場合、後者が拡散型式で表わされるか否かには疑問があるが、Harleman によれば、

$$\frac{\partial \bar{S}}{\partial t} + \bar{U} \frac{\partial \bar{S}}{\partial x} = \frac{1}{A} \frac{\partial^2}{\partial x^2} (AD \frac{\partial \bar{S}}{\partial x}) \quad \dots (2)$$

となる。三河川に於ける観測の要目を表にしておき、表中の Q_{t0} 、 U_{t0} は、水位記録及び断面図から連続の式 $(\partial A / \partial t) + (\partial Q / \partial x) = 0$ を用いて計算した河口に於ける平均の入退潮量、入退潮流速である。各河川に於いて、各地点平均入退潮量 Q_t 、 U_t を計算した結果は、 Q_t は河口より上流側に減少するが、流面積 A が同様に減少するため U_t の振幅 U_{t0} は、ほぼ一定と見做してよい。従って、便宜的に平均流速 \bar{U} を固有流速 U_f と、潮流速度 $U_t = U_{t0} \sin \Omega t$ とし、 t に分け、潮流と共に動く座標系

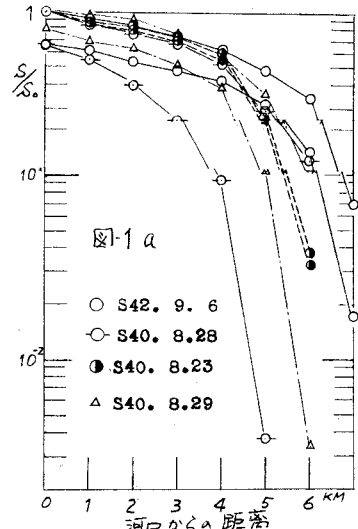


図-1 a

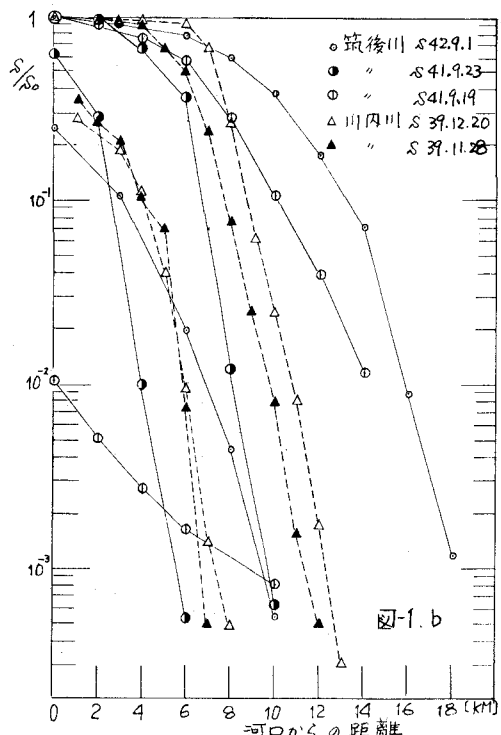


図-1 b

観測日	$S_0 \times 10^4$	$S_L \times 10^4$	S_L/S_0	H (cm)	$Q_{to} (l/s)$	$Q_f (l/s)$	$G (m)$	$u_{to} (\text{m/s})$		
大野川	S40. 8.28	2.20	1.92	0.873	3.05	194	28	1.14	0.16	○
	S40. 8.23				3.05	52	32	0.30	0.04	○
	S40. 8.29	2.00	1.60	0.80	3.05	179	33	0.92	0.125	○
	S37.12.13	1.8	1.22	0.68	3.05	115	33	0.59	0.09	●
	S39.12.5				3.05	115	28.3	0.60	0.09	+
筑後川	S42. 9. 1	1.50	0.56	0.373	4.89	1500	24.2	1.77	0.37	△
	S41. 9.19	2.8	0.06	0.021	5.48	2350	114	2.24	0.515	▲
	S41. 9.23	2.2	1.65	0.75	4.15	400	120	0.89	0.105	△
川内川	S39.12.20	1.94	0.692	0.357	1.85	306	37	1.10	0.26	●
	S39.11.28	1.94	0.565	0.291	1.85		25.5	0.71		○

こへくらは、潮汐振幅

$$x' = x + (u_{to}/\alpha) \cos \omega t \quad \dots(4)$$

から見ると、 $\left(\frac{\partial \bar{s}}{\partial t}\right)_z = -u_z \frac{\partial \bar{s}}{\partial x}$
 $= \frac{1}{A} \frac{\partial}{\partial x} (AD \frac{\partial \bar{s}}{\partial x}) \quad \dots(5)$

となる。

大野川及び筑後川、川内川の \bar{s} と x' の関係を満潮及び干潮時に於て図-1 a, b に示すが、上式で $(\partial \bar{s}/\partial t)_z = 0$ と見做し、 $-Q_f \bar{s} = AD_x (\partial \bar{s}/\partial x')$ $\dots(6)$ より、 \bar{s} 、 Q_f の実測値を用いて、 D_x と \bar{s} (cm ppm)との関係をプロットしたのが図-2 a, b である。尚、各河川とも A としては、満-干の間の平均水位に対する流水断面積を用いている。

図-2 a, b から 1) 满→干にかけて河口より海に排出された後、上げ潮により河道に侵入した区间に於て三次元的な湍渦拡散を受けて非常に大きく、 \bar{s} の減少と共に急減する。2) $\bar{s} = 1.2 \times 10^4 \text{ ppm}$ 以下では大野川及び筑後川で小流量時には、 \bar{s} と D_x は、ほぼ直線的に減少する。3) 上述の傾向及 u/D_x の order は、環境をかなり異にする三河川に於ても大きな差異は認められない。4) 干潮時と満潮時における D_x と \bar{s} の関係には著しい差異はない。5) 領域流量及く潮流量によつて D_x が或程度以下では、 D_x が \bar{s} 一定値に近づく傾向が見える。この領域における D_x を以て平均化した水深 H で無次元化して、 Q_f/Q_{to} との関係をプロットしたのが図-3 であり、かなりの相関が認められる。按て、Elderによると、密度差のない一様開水路流れに於ける水平拡散係数は、 $D_x/u_{to}H = 5.93(u*/u)$ の程度である。

専分の場合の $D_x/u_{to}H$ の値は上式に比し桁違いに大きい。このことは外海流出部にても(6)式を用いていたため、外海部の大さな D_x に接続すること、流れ方向の密度勾配による流速分布の変形、緩混含型における $|U_s|, |S_s|$ の増加、鉛直方向の交換係数の減少等に起因するものと考えられ、検討の余地が多い。

終りに、資料を提供された筑後川工事事務所と、大分県工業用水局に謝意を表します。

